

TAM OPTİK ANAHTARLAMA İÇİN FAZ ANALİZİ

Mehmet Salih Dinleyici, Osman Akın

İzmir Yüksek Teknoloji Enstitüsü
Elektrik-Elektronik Mühendisliği
Gülbahçe köyü, 35430 Urla, İzmir, Türkiye

salihdinleyici@iyte.edu.tr, osmanakin@iyte.edu.tr

ÖZETÇE

Bu çalışmada, iki Gauss hüzmesinin girişimi sonucu oluşturulan geçici kırımlı izgarası yardımıyla tamamen optik anahtarlama üzerine yeni bir yöntem öneriliyor. Kırımlı izgarasından yansyan ışık demetinin fazında meydan gelen değişiklik, doğrusal olmayan ortamda Gauss ışın demetlerinin girişimi ve yüksek anahtarlama süreleri gibi kavramlar önerilen yöntemin temelini oluşturuyor. Dalga kılavuzunun kılıf bölgesinde dört dalga karışımı inceleniyor, oluşan faz farkını bulmak için oluşturulan kırımlı izgarası standart metodlarla çözümleniyor.

ABSTRACT

In this work we investigate an all-optical switching node that can be controlled by means of a transient grating, which is formed by interference of two Gaussian beams. This design considers phase effect in the reflection of light from transient grating, real profile of Gaussian beams and fast switching time requirements. Four Wave Mixing (FWM) technique is applied in the evanescent field region of waveguide, showing $\chi^{(3)}$ nonlinearity. The formed grating is analysed by standart methods to obtain the phase of diffracted light and reflection coefficients to find the power exchange between reflection orders.

1. GİRİŞ

Optik sinyal işleme alanındaki çalışmaların en önemli amaçlarından biri daha hızlı çalışan optik yönlendiriciler geliştirmektir. Bu amaçla kullanılabilen en hızlı olgu Kerr etkisidir. Simetrik veya simetrik olmayan optik malzemelere herhangi bir uyarı (ışık) uygulandığında anlık cevap verirler, dolayısıyla Kerr etkisi pek yüksek hızlarda optik yönlendirici tasarımları için kullanılabilir(1). Günümüzde 1 femto saniyelik tepki süreleri literatürde bildirilmiştir(2). Fotokırılm (photorefractive) etki de tamamen optik anahtarlama için kullanılabilen olgulardan biridir. Ancak bu olgu, taşıyıcı hareketliliğine dayandığı için tepki süresi milisaniye ile ölçülülmektedir ve oldukça yavaştır. Dolayısıyla, bu özelliği gösteren malzemelerin, günümüzde 100 Gbit/s civarında olan iletişim hızlarında anahtarlama için kullanılmasını önlemektedir. Diğer taraftan, fotokırılm etkisi gösteren malzemeler bilgiyi uzun süre saklayabildikleri

icin yapay sinir ağları ve hacimsel holografi uygulamaları için daha uygundurlar.

Onerilen tasarım üçüncü dereceden doğrusal olmayan optik etki kullanılarak çok yüksek hızda kırımlı izgarası oluşumu gerektirir. Bu süreç dört dalga karışımı olarak incelenir, faz ve frekans eşleştirme gerektirdiği için karmaşıktır. Bu karmaşıklığın dışında bir kırımlı izgarasında elde edilen yansama verimi düşüktür. Ayrıca, geçici izgara oluşturmak için gereken ışık şiddeti belirli bir eşik değerinin üstünde olmalıdır. Aksi halde girişim örüntüsü herhangi bir izgara oluşturmaz ve girişim olayı şiddetli ışından zayıf olana enerji aktarımı olarak kalır(1).

Bu çalışmada lazer ışınlarıyla oluşturulmuş bir izgara tarafından kontrol edilen tamamen optik anahtar tasarımı önerilmektedir. Bu tasarım bir dalga kılavuzunun yanal rezonans veya tam iç yansımaya sınırlarında çalışmaktadır.

2. ANAHTAR TASARIMI

Kerr tipi bir ortamda, geçici kırımlı izgarası doğrudan olmayan Gauss hüzmesinin girişimiyle oluşturulur. Dolayısıyla doğrusal olmayan malzemenin kirılma indisini modülasyonu, girişim yapan ışınların ışık şiddetine bağlıdır. Bu bağılılık aşağıdaki şekilde ifade edilir

$$n_2(I) = n_2 + \Delta n I \quad (1)$$

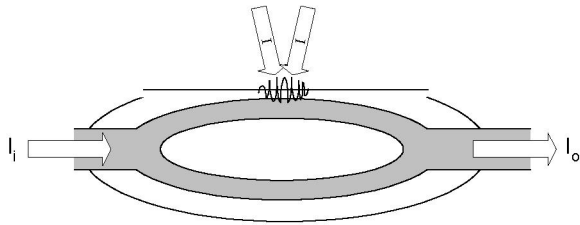
Bu ifadede I ışık şiddeti, n_2 doğrusal kirılma indisini ve Δn de ortamın doğrusal olmayan Kerr katsayımasını göstermektedir (literatürdeki n_2 Kerr katsayı ile karıştırılmamalıdır). Kerr katsayısı aşağıdaki şekilde yazılabilir

$$\Delta n = \frac{6 \times \eta_0}{n_2^2 \times \epsilon_0} \times \chi^{(3)} \quad (2)$$

Bu denklemde $\chi^{(3)}$ üçüncü dereceden doğrusal olmayan geçirgenlik katsayısidır.

Bu çalışmada iki lazer hüzmesi, dalga kılavuzunun kılıfında, geçici kırımlı izgarası oluşturmak için girişirilir. Geçici izgara kılıf-damar sınırlına çok yakındır ve dalga kılavuzunun iletim özelliğini değiştirir, diğer bir deyişle geçici izgara hüzmenin yansımacı açısını ve bağıl fazını değiştirek tam ışık yansımı özelliğini ortadan kaldırır. Bu problem değişik tekniklerle incelenebilir. Öncelikle dalga kılavuzunun kılıfında varolan sökümlü dalgalar düşünülerek, kılıf-damar sınırlına dört dalga karışım tekniği uygulanabilir. Başka bir yöntem de

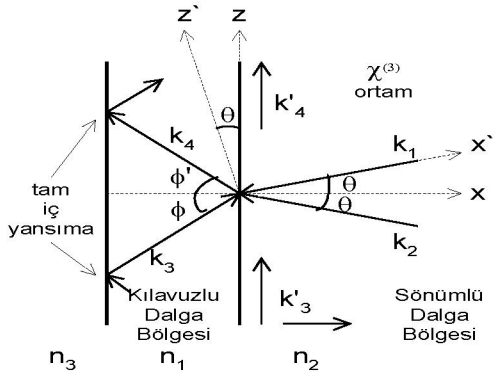
geçici izgara, durağan (stationary) izgara olarak düşünülebilir ve bu izgaradan yansyan dalgalar düşünülerken çözüm yapılabılır. Diğer bir yöntemde de kılıf bölgesine yasak bantları olan tek boyutlu fotonik kristal yerleştirilebilir. Böyle bir yapıda fotonik kristal dalga kılavuzunun bazı modlarının yayılmasını engelleyecektir. Şekil 1, Mach Zender girişim düzeneğindeki optik anahtarlama düzümünü göstermektedir(8). Anahtarlama süreci 3 aşamadan oluşmaktadır. İlk aşamada gelen ışık iki ayrı kola ayrılır. Eğer anahtarlama yapılacaksa, ikinci aşamada kollardan birinin kılıf bölgesinde iki lazer hızımsı girişirilir ve geçici kırınım izgarası oluşturulur. Bu izgara yardımıyla kolda ilerleyen dalgamın fazı değiştirilebilir.



Şekil 1. Geçici kırınım izgarası oluşumu ve anahtarlama

Geçici izgaradan yansyan ışığın genliğini ve fazını bulabilmek için dört dalga karışım yaklaşımı kullanılacaktır. Üçüncü aşamada ise kollardan gelen uyumlu (coherent) ışık, düzümün çıkışında birleştirilir. Oluşan faz farkına bağlı olarak bu iki sinyal birbirini güçlendirir (faz farkı olmuşmamış) ya da söndürür (faz farkı $\pm \pi$).

Şekil 2'de görüldüğü gibi geliştirilen sistemde, dalga kılavuzunda ilerleyen modun dalga boyu ile geçici izgarayı oluşturan lazer ışınlarının dalga boyu birbirinden farklıdır.



Şekil 2. Kılıf – damar sınırında Dört Dalga Karışımları

Geçici izgara, düzümün bir dalında - kılıf bölgesinde, k_1 ve k_2 dalga sayılı Gauss hüzmelerinin girişimi ile oluşur. Bu bölgeye gelen üçüncü dalga ise k_3 dalga sayılı, kılavuzun içinde yayılan dalgadır. Dört dalga karışımı yöntemine göre bu üç sinyalin birleşiminden k_4 dalga sayılı yeni bir sinyal ortaya çıkar ve bu sinyalin izgaradan yansama açısı ϕ' olarak gösterilebilir. Eğer izgara olmasaydı $\phi' = \phi$ olurdu. Şekil 2'de gösterilen Dört Dalga Karışımlı (DDK) olayında, stirece dahil olan dalgaların frekans ve fazlarının eşlemesi gerekmektedir. Buna göre eşleme denklemleri aşağıdaki denklemlerle ifade edilebilir

$$\omega_4 = \omega_1 - \omega_2 + \omega_3 \quad (3)$$

$$\vec{k}'_4 = \vec{k}_1 - \vec{k}_2 + \vec{k}'_3 \quad (4)$$

Faz eşleme şartı uygulandığında aşağıdaki ifade elde edilir

$$|k_4| \sin(\phi') = -2 |k_1| \sin(\theta) + |k_3| \sin(\phi) \quad (5)$$

Oluşturulan geçici izgaranın(Şekil 2) z yönündeki periyodu düzlem dalgalar için Λ olarak kabul edersek

$$\Lambda = \frac{\lambda_0}{2 n_2 \sin(\theta)} \quad (6)$$

olarak tanımlanabilir. $|k_1| = |k_2|$ ile $|k_3| = |k_4|$ olduğuna göre aşağıdaki denklem kolayca çıkarılabilir

$$\sin \phi' = \sin(\phi) - \frac{\lambda}{n_1} \frac{1}{\Lambda} \quad (7)$$

olarak bulunur. Denklem(7)'dan görüleceği gibi dalga kılavuzunda kırınım izgarası olması durumunda yansma açısı, geliş açısından farklıdır. Örneğin, $\phi = 81.8^\circ$, dalga boyu $\lambda = 1.55\mu\text{m}$, $n_1 = 1.4801$ ve $n_2 = 1.465$ olsun. Bu durumda yayılma katsayısi $\beta = n_1 k_0 \sin(\phi) = 5.94 \times 10^6$ olarak bulunur. Izgarayı oluşturan hüzmelerin geliş açısı $\theta = 1^\circ$ ve dalga boyları $\lambda_0 = 1\mu\text{m}$ ise, izgaranın periyodu $\Lambda = 19.55\mu\text{m}$ olur. Bu değerler için izgaradan yansma açısı $\phi' = 69.42^\circ$.

3. IZGARA OLUŞUMU VE FAZ DEĞİŞİMİ

Şekil 2'de izgarayı oluşturan hüzmelerin x eksenile θ kadar açı yaparak (x ekseninde) yayılmasını gösteren denklemin genel ifadesi aşağıdaki gibi yazılabilir.

$$E(x') = A_1 \exp[jk(x' - L)] \exp[jk \frac{\rho'^2}{2q(x')}] \quad (8)$$

Burada L hüzmenin başlangıç noktası ile girişim düzlemi arasındaki uzaklık, ışınsal uzaklık $\rho'^2 = (z')^2 + y^2$ ve $q(x') = (x' - L) - jx'_0$. “ θ ” çok küçük olduğundan birinci dereceden yaklaşım kullanılabilir. Dolayısıyla, x eksenile küçük bir açı yaparak ilerleyen Gauss hızımsı genel olarak aşağıdaki gibi ifade edilir

$$U(x, z, \theta) = \frac{A}{q(x)} \exp \left[j|k|(\eta(x, z, \theta) + \frac{\Phi}{2q(x)}) \right] \quad (9)$$

Burada

$$\eta(x, z, \theta) = \begin{cases} \eta_+(x, z, \theta) \cong z\theta + x - L, & \theta > 0 \\ \eta_-(x, z, \theta) \cong -z\theta + x - L, & \theta < 0 \end{cases} \quad (10a)$$

$$\Phi = \begin{cases} \Phi_+ \cong z(z - 2x\theta), & \theta > 0 \\ \Phi_- \cong z(z + 2x\theta), & \theta < 0 \end{cases} \quad (10b)$$

$$q(x) = \begin{cases} q = x - L - jx'_0, \theta > 0 \\ q^* = x - L + jx'_0, \theta < 0 \end{cases} \quad (10c)$$

Kırımlı ızgarasının yayılan bir dalgaya etkisini görmek için şekil 2 incelenirse, Dört Dalga Karışım frekans ve faz eşleme şartları denklem(3) ve denklem(4)'te çıkarılmıştır. Bu denklemlere dayanarak bağlaşım ifadeleri şu şekilde yazılır(5)

$$(\nabla^2 + k_4^2)E_4 = -\zeta E_1 E_3 E_2^* - \gamma_4 E_4 \quad (11)$$

$$(\nabla^2 + k_3^2)E_3 = -\zeta E_2 E_4 E_1^* - \gamma_3 E_3 \quad (12)$$

burada

$$\omega_1 = \omega_2 = \omega_0, \omega_3 = \omega_4 = \omega$$

$$\zeta = 6 \mu_0 \omega^2 \chi^{(3)}, I = \frac{|E|^2}{2\eta}$$

$$\gamma_3 = 6 \mu_0 \omega^2 \chi^{(3)} \eta (2I_T - I_3)$$

$$\gamma_4 = 6 \mu_0 \omega^2 \chi^{(3)} \eta (2I_T - I_4)$$

I ışık şiddeti ve η ortamın empedansıdır.

Elektrik alanını aşağıdaki gibi ifade edebiliriz

$$U(r, t) = E(r, t) = \frac{1}{2}[U(r)\exp(j\omega t) + U^*(r)\exp(-j\omega t)] \quad (13)$$

Şekil 2'de görüldüğü gibi ızgara k_1 ve k_2 dalga sayılı hüzmeler tarafından oluşturulur. Dolayısıyla $E_1 E_2^*$ ızgarayı oluşturan ifadedir. Faz gecikmesi δ ise, ızgarayı oluşturan durağan denklem aşağıdaki gibidir

$$E_1 E_2^* = \frac{2A^2}{|q|^2} \exp\left[-\frac{x_0 z^2}{|q|^2}\right] \cos\left[|k|\left[2zx\theta - \frac{2zx\theta(x-l)}{|q|^2} + \delta\right]\right] \quad (14)$$

Denklem (14), denklem(11)'in ve denklem(12)'nin içine yerleştirilirse, aşağıdaki ifadeler elde edilir

$$(\nabla^2 + k_3^2)E_3 = -\zeta \cos(K(\theta, x)z) \exp(-\alpha z^2) E_4 - \gamma_3 E_3 \quad (15)$$

$$(\nabla^2 + k_4^2)E_4 = -\zeta \cos(K(\theta, x)z) \exp(-\alpha z^2) E_3 - \gamma_4 E_4 \quad (16)$$

Bu ifadelerde

$$K(\theta, x) = 2k \sin(\theta) \left[1 - \frac{x(x-L)}{(x-L)^2 + X_o^2} \right] \text{ ve } \alpha = -\frac{X_o^2}{(x-L)^2 + X_o^2}$$

Değişiklikle ugratılmış dalga kılavuzunda yayılan E_3 ve E_4 alanları modların toplamı şeklinde yazılabilir

$$E_3 = \sum_l A_l(z) E_l(x, y) \exp(-j\beta_l z) \quad (17a)$$

$$E_4 = \sum_k B_k(z) E_k(x, y) \exp(-j\beta_k z) \quad (17b)$$

Denklem(17), denklem(15) ve denklem(16) içine yerleştirirse aşağıdaki bağlaşım denklemleri elde edilir

$$\frac{\partial A_l}{\partial z} = -j \frac{\xi}{4\omega\mu} C_{lk} B_k e^{-\alpha z^2} e^{-j\Delta\beta z} \quad (18a)$$

$$\frac{\partial B_k}{\partial z} = -j \frac{\xi}{4\omega\mu} C_{kl} A_l e^{-\alpha z^2} e^{j\Delta\beta z} \quad (18b)$$

Burada $\Delta\beta = \Delta\beta' - \delta$, $\Delta\beta' = \beta_k - \beta_l$ ve

$$\delta_i = 3\mu\omega^2 \chi^{(3)} \frac{(2I_T - I_i)}{\beta_i} \eta_0 \quad (18c)$$

Burada δ , ızgarayı yaratan hüzmelerinin ışık şiddetinin, dalga kılavuzunda ilerleyen modun yayılma katsayısının değişimini göstermektedir. Burada $I_T \gg I_i$ olduğundan cebirsel işlemler sonucunda

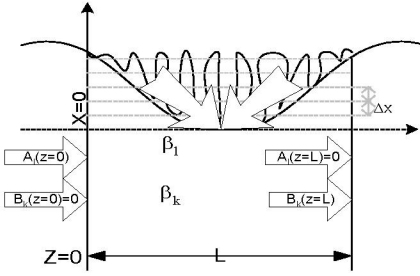
$$\delta = \Delta n I_T \beta \quad (18d)$$

olarak bulunur.

Kırımlı ızgarası, şekil 2'de gösterildiği gibi, x yönünde genişliği Δx olan aralıklara bölünürse, her bir aralık için bağlaşım katsayışı şu şekilde bulunabilir

$$C_{kl} = \sum_m \int_{m\Delta x}^{(m+1)\Delta x} B_k^* e^{\beta_k z} \cos(K(\theta, x)z) A_l e^{-\beta_l z} dx \quad (19)$$

$m = 0, 1, \dots$



Şekil 3. Dalga kılavuzuna yazılmış ızgara ve bağlaşım denklemleri için sınır şartları

Bağlaşım katsayısının en büyük olması için aşağıdaki şart sağlanmalıdır.

$$\beta_k = \beta_l - K_0(\theta_0, \Delta x) \quad (20)$$

Düzen taraftan denklem(20) ile ifade edilen bağlaşım denklemleri çözülsüze ve şekil 3'te gösterilen sınır şartları uygulanırsa aşağıdaki sonuçlar elde edilir

$$A_l(z=L) = e^{\frac{j}{2} \Delta \beta L} \left\{ \cos(sL) - j \frac{\Delta \beta}{2s} \sin(sL) \right\} A_l(0) \quad (21a)$$

$$B_k(z = L) = e^{-\frac{1}{2}\Delta\beta L} \left\{ -j \frac{C_{kl}^*}{s} \sin(sL) \right\} A_l(0) \quad (21b)$$

Burada $s = \sqrt{C_{kl} C_{kl}^* + \frac{1}{2} \Delta\beta}$ olarak tanımlanır.

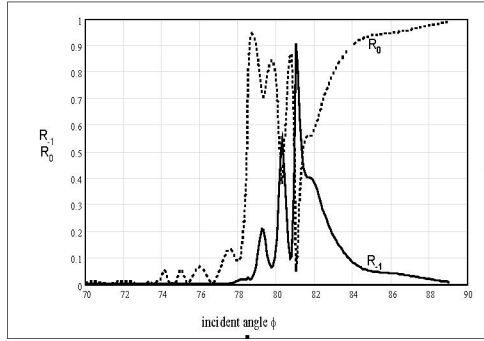
Denklem(21) kullanılarak, dalga kılavuzunda ilerleyen iki mod arasındaki bağıl faz farkı ψ aşağıdaki gibi ifade edilebilir

$$\psi = -L \left\{ \beta_k - \beta_l + \beta_k \left(\frac{6\eta_0 \chi^{(3)}}{\varepsilon_0 n_2^2} I_T \right) \right\} \quad (22)$$

Anahtarlama olabilmesi için $\psi = \pm\pi$ olmalı. Bu durumda aşağıdaki ifade elde edilir

$$\frac{\pi}{L} = \frac{12\pi\eta_0 \chi^{(3)}}{\lambda_0 \varepsilon_0 n_2} I_T - K_0(\theta_0, \Delta x) \quad (23)$$

Bu ifadenin sağ tarafındaki ilk terim indis değişimini sağlayan hüzmelerin ışık şiddetine bağlı olarak oluşan faz farkıdır. İkinci terim ise ızgaradan dolayı oluşan faz farkıdır. Dolayısıyla bu ızgaradan elde edilecek yüksek verim anahtarlama düzgünü önemli bir parametredir. Şekil 4'te böyle bir ızgaranın yansımı başarımları hesaplanmıştır.



Şekil 4. Geliş açısına bağlı olarak kırınlım başarımı

Burada $n_1=1.4801$, $n_2=1.465$ and $\Delta n=0.01$ olarak alınmış ve benzetim için standart ızgara çözümleme yazılımı kullanılmıştır. R_0 ve R_1 sırasıyla sıfırinci ve birinci dereceden yansımı katsayılarını ifade etmektedir. Şekilde görüldüğü gibi 81.8 derecelik giriş açısı için %90'a yakın başarım elde edilmektedir.

4. SONUÇ

Bu çalışmada, üçüncü dereceden doğrusal olmayan (Kerr tipi) bir dalga kılavuzu ortamında, dört dalga girişimi metodu kullanılarak, kontrol ışığı ile ilerlemekte olan bir dalganın faz etkileşimi analizi yapılmıştır. Böylece, Mach-Zehnder düzenegindeki iki koldan birisinde sağlanacak 180 derecelik faz kayması tam optik anahtarlamayı sağlayacaktır. Dört dalga girişiminde, güç sağlayan iki dalga Gauss forma, diğer iki dalga ise dalga kılavuzunun kılıfında sönmülenmekte olan dalga kılavuzu modundan oluşmaktadır. Bu etkileşim sonucunda kılavuz içerisindeki modun fazı iki şekilde etkilendiği gösterilmiştir. İlk olarak Kerr ortamının ortalama

indisinin değişmesi sonucu oluşan faz gecikmesi ki, bu etki güç dalgalarının toplam yoğunluğuna bağlıdır. Bu etki ile 180 derece faz kayması sağlamak için gerekli olan optik güç ve mesafe: Güç 100 mW dan daha az olmak koşuluyla 10 mm civarındadır, bu rakam $n_2=10^{-10} \text{ cm}^2/\text{W}$ için hesaplanmıştır (doğrusal olmayan katkılı camlar için n_2 tipik değeridir)(6). İkinci olarak, girişimle oluşan duran dalganın geometrisine bağlı olarak mod dalgasının bir çok kırınlım moduna dağılması sonucu oluşan durumdur. Bu durumda faz kayması elde etmek çok daha kolay olmakla birlikte, değerini kılavuzun yapısı ve diğer faktörler belirlemektedir. Ancak, daha önemlisi bu moda ne kadar güç aktarıldığıdır. Kırınlım modları için yapılan benzetim ile iki Gauss ışın hüzmesi girişimiyle oluşan kırınlım izgarası geometrisi için %90'lara varan bir verimlilik elde edilebilmiştir(7).

5. KAYNAKÇA

- [1] T. Schneider, D.Wolfframm, R.Mitzner, J.Reif, Femtosecond index grating in barium fluoride: efficient self-diffraction and enhancement of surface SHG, *Applied Surface Science* 154-155, 565-570,(2000).
- [2] J.Reif, R.P. Schmid and T. Schneider, Femtosecond third harmonic generation: self phase matching through a transient Kerr grating and the way to ultrafast computing, *Appl.Phys. B* 74, 745-748 (2002).
- [3] T. Schneider, D.Wolfframm, R.Mitzner, J.Reif, Ultrafast optical switching by instantaneous laser-induced grating formation and self-diffraction in barium fluoride *Appl.Phys. B* 68, 749-751 (1999).
- [4] T. Schneider, D.Wolfframm, J. Reif , Ultrafast laser – induced index grating in transparent insulators, *Nuclear Instruments and Methods in Physics Research B* 166-167,809-814, (2000).
- [5] B.E.A. Saleh and M.C. Teich, *Fundamentals of photonics* (John Wiley & Sons,1991)
- [6] R. L. Sutherland, *Handbook of Nonlinear Optics* (Marcel Dekker,2003)
- [7] M.S.Dinleyici, O.Akin
3-D Switching Fabric Node Design, Communication Systems and Networks – CSN2004, Marbella-Spain, 2004)
- [8] Yabu, T., Geshiro, M., Kitamura, T., Nishida, K., Sawa, S. All-optical logic gates containing a two-mode nonlinear waveguide, *IEEE Journal of Quantum Electronics*, Volume 38, 37-46, (2002).